

تقييم التسرب الحفافي المجهري لترميمات الكمبوزت الصنف الثاني المرممة وفق تقنية الكتلة الواحدة

سعاد عبود*

الملخص

خلفية البحث وهدفه: تقييم التسرب الحفافي المجهري لترميمات الكمبوزت الصنف الثاني المنجزة بتقنية الكتلة الواحدة، ومقارنة النتائج بالترميمات المنجزة بتقنية الطبقات المتعددة.

مواد البحث وطرائقه: حُضرت 60 حفرة صنف ثانٍ علبية الشكل (mm 5x3x2) على أسنان طبيعية سليمة حديثة القلع بحيث تبقى الحافات اللثوية ضمن الميناء. رُممت الأسنان بأربع مواد مختلفة، ووزعت وفق أربع مجموعات (n=15): المجموعة 1: Filtek Bulk-Fill، المجموعة 2: X-tra fil Bulk-Fill، والمجموعة 3: SonicFill (تقنية الكتلة الواحدة)، والمجموعة الشاهدة Tetric Evo Ceram (تقنية الطبقات المتعددة). بعد إخضاع أسنان العينة إلى دورات حرارية غمرت بمحلول أزرق البيليكان 4001 وحفظت بدرجة حرارة الغرفة مدة 24 ساعة. من ثم فُصلت الأسنان بالاتجاه الإنسي الوحشي، وفُحصت المقاطع الناتجة بمكبرة ضوئية بتكبير 50×. قيس التسرب الحفافي للصبغ من الحافات الإطباقية واللثوية. حُللت النتائج وفق اختبار Kruskal Wallis واختبار Wilcoxon واختبار Mann - Whitney (P < 0.05).

النتائج: حققت المواد المدروسة جميعها نتائج مقبولة ومقارنة من حيث حدوث التسرب الحفافي المجهري، ولم يُسجل أي فرق ذي دلالة إحصائية للتسرب الصباغي بين المجموعات الأربع. وكان التسرب الحفافي اللثوي أكبر من التسرب الحفافي الإطباق، وسجلت تقنية الترميم بمادة الـ SonicFill النسب القليلة من حيث التسرب الحفافي المجهري دون فروق مهمة.

الاستنتاج: ضمن الظروف التجريبية لهذه التجربة المخبرية لم تستطع أي تقنية الحد من التسرب الحفافي المجهري في كل من الحافات اللثوية والإطباقية. التسرب الحفافي اللثوي أكبر من التسرب الحفافي الإطباق، كما تؤثر درجة اللزوجة لمادة الكمبوزت المطبقة بتقنية الكتلة الواحدة في مقدار التسرب الحفافي، ومدى الانطباق الداخلي بين الترميم والسن. كلمات مفتاحية: التسرب الحفافي، كمبوزت، الكتلة الواحدة، صوتي.

* أستاذ مساعد - قسم المداواة - كلية طب الأسنان - جامعة دمشق.

Evaluation of Microleakage in Class II Bulk-fill Resin Composite Restorations

Souad Aboud*

Abstract

Objective: The aim of this study was to evaluate the microleakage of class II resin composite restorations applied by bulk fill technique, and to compare the results with the incremental technique.

Materials and Methods: Sixty box-only class II cavities (5x3x2mm) were prepared in extracted non-carious human molars with gingival margin in the enamel. The teeth were restored with 4 different materials and assigned into four groups (n=15): group1 Filtek Bulk-Fill, group 2 X-tra fil Bulk-Fill group 3 SonicFill (bulk fill technique), and control group Tetric Evo Ceram (incremental technique). After thermocycling, the specimens were immersed in Pelikan ink 4001 blue dye solution and incubated at room temperature for 24 hours. The teeth were subsequently sectioned mesiodistally. All specimens were examined at 50× in a stereomicroscope. Dye penetration was measured from occlusal and gingival margins. Data were statistically analyzed using the Kruskal Wallis, Wilcoxon, and Mann – Whitney U tests (P < 0.05).

Results: No significant differences in dye penetration were found between the control and the experimental groups, and among occlusal and gingival margins. But microleakage scores were higher in gingival margins compared with occlusal margins. Bulk-fill technique group SonicFill showed less microleakage scores.

Conclusions: Within the experimental conditions of this in vitro study, None of the restorative techniques tested completely eliminated microleakage dye penetration in occlusal and gingival margins; Viscosity of the bulk fill restorative material influenced the microleakage and the internal adaptation.

Keywords: Microleakage, Resin Composite, Bulk-fill, sonic.

*Associat. Prof., Department of Operative Dentistry & Endodonties, Faculty of Dentistry, Damascus University.

المقدمة:

الحفافية، حيث تنقص تقنية التطبيق على طبقات نسبة الجدران المرتبطة إلى الجدران غير المرتبطة (عامل C)؛ ممّا يقلّل الجهود التقلصية التي قد تتعرض لها الترميمات النهائية^{10,11}. بيّن Frankenbergr أنّ تطبيق مواد الكمبوزت على شكل طبقات أفقية كان ذا نتائج ارتباط أفضل عند مقارنتها بتطبيق المادة على شكل طبقات عمودية أو مائلة¹². على النقيض من ذلك، أظهرت دراسة Versluis أنّ تطبيق مواد الكمبوزت بشكل طبقات أفقية يزيد من التشوه في الأسنان المرممة ويزيد من التقلص التصليبي وتشكل الفجوات الحفافية¹³. وأجريت دراسة طُبّق فيها نوع واحد من مواد الكمبوزت ذي الأساس السيلوريني على شكل طبقات أفقية ومائلة، فُحصت العينات من حيث التقلص التصليبي، وتشكل الفجوات الحفافية وكانت نتائج تطبيق المادة بشكل طبقات أفقية أفضل من تطبيقها بطبقات مائلة¹¹. وتبيّن نتيجة للبحوث أنّ تعريض مواد الكمبوزت لدرجة حرارة تصل حتى Pre-heated Resin Based Composites 155F يجعلها ذات لزوجة أقل؛ ممّا يساعد على انطباق وترطيب أفضل لجدران السن¹⁴.

استخدمت العديد من المواد أسفل ترميمات الكمبوزت بهدف تحسين انطباق مواد الكمبوزت مع الجدران اللثوية للحفرة. اشتملت هذه المواد على الإسمنت الزجاجي الشاردي أو الإسمنت الزجاجي الشاردي المعدل بالراتنج أو الكيومير. ولوحظ أنّ هذه المواد المطبقة أسفل ترميمات الكمبوزت من شأنها أن تقلّل تشكل الفجوات الحفافية وتزيد من الانطباق¹⁵. لكن بعض الدراسات لم تجد لهذه التقنية أي تأثير إيجابي إضافي عن التقنيات الأخرى^{16,17}.

ونتيجة لتزايد الحاجة لتقنيات ترميم تختصر الوقت والجهد، وتكون أقل حساسية من تقنية الطبقات المتعددة و لاسيماً عند ترميم التحضيرات الواسعة، ظهر مفهوم تطبيق ترميمات الكمبوزت بتقنية الكتلة الواحدة Bulk-Fill، وساعد

يُعدّ الارتباط الجيد مع الميناء والعاج الهدف الأساسي عند الترميم بالمواد اللاصقة Adhesive Restorations، وعلى الرغم من تطور المواد الرابطة إلا أنّها لا تزال غير قادرة على تحقيق الارتباط الكامل مع الأنسجة السنية، ويعد التقلص التصليبي والتسرب الحفافي المسببان الرئيسان لإخفاق ارتباط ترميمات الكمبوزت¹². وتتجلى الاختلالات السريرية للتسرب الحفافي بحدوث الحساسية التالية للترميم، وتشكل النخور الثانوية فضلاً عن حدوث التخريش اللبي وتلون الحافات بسبب تراكم الأصبغة في الطبقة تحت السطحية³.

هناك عدة طرائق للتحري عن التسرب الحفافي ومعرفة مدى قدرة المادة على تحقيق الختم الحفافي، استخدم Harper عام 1912 ضغط الهواء للتحري عن الفجوات الحفافية المتشكلة، في حين اعتمد كل من Fraser عام 1929 و Rose عام 1955 و Martensen عام 1965 و Brännström 1971 تقنية النفوذ الجرثومي لتحديد مدى الانطباق⁴، إلا أنّ تقنية التحري باستخدام النفوذ الصباغي تعدّ الأكثر شيوعاً واستخداماً⁵. ولا يزال التقييم المخبري طريقة أساسية ومشعراً يعبر عن التسرب الحفافي المجهرى للترميمات^{6,7}. وأشار Papacchini إلى أنّهُ من المستحيل التخلص من الفجوات الحفافية والتسرب الحفافي لمواد الكمبوزت⁸، كما وجد Samet أنّهُ من المستحيل التخلص من الفجوات المتشكلة بين الطبقات المختلفة لهذه المواد⁹.

يتأثر ارتباط ترميمات الكمبوزت بعدة عوامل مثل تصميم التحضير (C-factor)، ونوع النظام الرابط المستخدم، ونظام التصليب المستخدم، وكذلك تقنية تطبيق مادة الترميم^{3,1}.

استخدمت تقنية تطبيق مواد الكمبوزت على طبقات بشكل واسع ولاسيما تحضيرات الصنف الثاني للتقليل من الأثر السلبي للتقلص التصليبي للمادة ومن تشكل الفجوات

التصلب الأفضل^{24،25}، من هنا جاءت فكرة هذه الدراسة التي تهدف إلى تقييم درجة التسرب الحفافي المجهري للترميمات المطبقة بتقنية الكتلة الواحدة المطروحة كبديل عن التطبيق على دفعات في تحضيرات الصنف الثاني (Filtek Bulk Fill و X-tra fil و SonicFill)، ومقارنتها بتقنية الطبقات المتعددة (Tetric Evo Ceram).

مواد البحث وطرائقه:

يمكن تلخيص المواد المستخدمة بالبحث وفق الجدول رقم 1. وتألقت عينة البحث من 60 تحضيراً صنف II معدّل، حُضِرَت على 60 رحي بشرية سليمة حديثة القلع. طُهرت الأسنان المقلوعة بمحلول الكلورامين T مدة أسبوع، ونظفت بعدها من الأنسجة الرخوة بأدوات النقل اليدوية ثم حفظت بماء ثنائي التقطير وبدرجة حرارة الغرفة. وأجرى فحص أولي للأسنان باستخدام المكبرة الضوئية (X 10) للتأكد من خلو أسنان العينة من العيوب حيث تم استبعاد الأسنان المصابة بالنخور أو التشوهات والأسنان ذات الملتقى المينائي الملاطي غير الواضح. حُتمت ذرا الأسنان بواسطة راتنج الايبوكسي ثم طُليت الجذور بطبقتين من طلاء الأظافر، ومن ثم وضعت جذور الأسنان ضمن قواعد أكريلية تبعد 3 ملم عن الملتقى المينائي الملاطي لتسهيل إجراءات العمل التالية. حُضِرَت حفر صنف II عليّة الشكل بأبعاد (3 ملم عرضاً، 2 ملم عمقاً، 5 ملم ارتفاعاً) وذلك على السطح الإنسي أو الوحشي لكل سن من أسنان العينة بحيث يتوضع الجدار اللثوي فوق الملتقى المينائي الملاطي ب 1 ملم، وذلك باستخدام سنبلّة ماسية شاقّة من نوع (MANI sf-81)، واستخدمت سنبلّة جديدة كل 5 تحضيرات للمحافظة على فعالية القطع، وتم التأكد من أبعاد العينة باستخدام البياكوليس الرقمي Digital Vernier Caliper No. 52427PVC150D ومسبر لثوي. وُرِعت العينة بعد ذلك عشوائياً إلى أربع مجموعات (n=15) تبعاً لنوع الكمبوزت المستخدم في الترميم وفق الجدول رقم 2.

في ذلك التطور الكبير في بنية مواد الكمبوزت الحديثة وتركيبها. واعتمدت هذه التقنية الجديدة على تغيير التركيب الكيميائي للمونوميرات للحصول على مونوميرات ذات لزوجة منخفضة تسمح بالانسيابية اللازمة^{18،19،20}.

وتدعي الشركات المصنّعة أن التغيير الكبير في قالب العضوي لهذه المواد الحديثة أظهر نقصاً واضحاً في قيم التقلص التصلبي والجهود التقلصية بنسبة 60-70%^{18،21}. كما أُضيفَ بعض المعدّلات لتساعد على زيادة عمق التصلب لهذه المواد، حيث يصل عمق تصلب الطبقة في بعض المواد حتى 5-6 ملم. وتوافرت بالأسواق التجارية العديد من مواد الكمبوزت المنجزة بتقنية الكتلة الواحدة بتراكيب مختلفة، الأمر الذي من شأنه أن يجعل الأداء السريري لهذه المواد مختلفاً. كما تتوافر مواد الكمبوزت Bulk-Fill بشكّلين رئيسيين: سيال Flowable، وقابل للنحت Sculptable، ويختلفان عن بعضهما بحجم الحبيبات المألثة الداخلة في تركيبهما ونسبها^{21،22}.

تتميز المواد السيالة Bulk-Fill بقدرتها على الترتيب وتحقيق الانطباق الجيد مع جدران التحضير، والزوايا الخفية والنقطة الداخلية جميعها، فضلاً عن سهولة تطبيقها وعدم الحاجة إلى تكييف المادة مع الجدران بواسطة أدوات الدك التقليدية، أمّا سلبياتها فتتجلى بضرورة تغطيتها بطبقة 2 ملم من الكمبوزت الهجين للحصول على ترميمات ذات خواص ميكانيكية جيدة ومقاومة للاهتراء فضلاً عن القدرة على التشكيل الإطباق وتأمين النواحي الجمالية المطلوبة بالترميم^{23،22}. وتتميز مواد Bulk-Fill ذات اللزوجة العالية القابلة للنحت بأنها لا تحتاج لإضافة طبقة علوية مغطية، حيث يُملأ التحضير كلّ طبقة واحدة، كما يسهل معها نحت السطح الإطباق وتشكيلها نتيجة لقوام المادة الكثيف. أمّا سلبياتها فتكمن بضرورة دك المادة وتكييفها مع الجدران الداخلية للحفرة باستخدام الأدوات اليدوية، كذلك تبدي شفافية تتعارض مع النواحي الجمالية المطلوبة²⁰.

مازالت تقنية تطبيق الكمبوزت على طبقات هي الإجراء المعياري للتقليل من التقلص التصلبي وتحقيق عمق

الجدول (1): المواد المستخدمة بالبحث ومواصفاتها

المادة	التركيب	الكثافة	الشركة المصنعة
TetricEvo Ceram <i>Nanohybrid</i>	The filler: Fillers (Barium glass, Ytterbium trifluoride, Mixed oxide, SiO_2). Inorganic filler loading is about 82.0% by weight. The resin matrix: Dimethacrylates 16.8%(Bis-GMA, Bis-EMA,UDMA, Bis-EMA)	عالي اللزوجة طبقات بسماكة تصل حتى 2ملم لكل طبقة	Ivoclar vivadent, Schaan, Liechtenstein
Filtek Bulk Fill Posterior Restorative <i>Nanofiller</i>	The filler: Non-agglomerated/non-aggregated 20nm silica filler, a Nonagglomerated/ non-aggregated 4 to 11 nm zirconia filler, an aggregated zirconia/silica cluster filler (20nm silica and 4 to 11 nm zirconia particles), and a ytterbium trifluoride filler consisting of agglomerate 100 nm particles. Inorganic filler loading is about 76.5% by weight (58.4% by volume). The resin matrix: AUDMA, UDMA and 1, 12-dodecane-DMA.	عالي اللزوجة High Viscosity طبقة بثخانة 5 ملم	3M ESPE, St. Paul, USA
X-tra fil Bulk-Fill <i>Multihybrid</i>	The filler: Barium, boron, aluminosilicate glass (2-3 nm). The resin matrix: Inorganic filler loading is about 86% by weight (70.1% by volume) Bis-GMA, UDMA, TEGDMA	عالي اللزوجة Packable طبقة بثخانة 4 ملم	Voco, Guxhaven, Germany.
SonicFill <i>Nanohybrid</i>	The filler: Glass, oxide, chemicals 75% Silicon dioxide 10%. by weight 83.5% The resin matrix: Dimethacrylates 15% (3-trimethoxysilypropyl methacrylate EBADMA, Bis-GMA TEGDMA)	سيال عند التنشيط بالأمواج الصوتية High Viscosity طبقة بثخانة 5 ملم	Kerr, Orange, CA, USA
Heliobond Bond	.Bis-GMA 60 %wt .Triethylene glycol dimethacrylate 40 %wt	طبقة واحدة	Ivoclar vivadent, Liechtenstein
N Etch	Phosphoric acid 37%	تخريش مدة 15 ثانية من ثم الغسل والتجفيف.	Ivoclar vivadent, Liechtenstein

Information provided by the manufacturers.

طُبِقَ الحمض المُخَرَّش على الميناء 15 ثانية وعلى الميناء مدة 10 ثوانٍ. طُبِّقَتْ بعدها مسندة Tofflemire على والعاج مدة 15 ثانية، ثم غُسِلَت الأسنان بتيار مائي مستمر الأسنان المحضرة ودُعِمَت باستخدام مركب طبع ملين

مائي، ومن ثم استُخدمت مجموعة الإنهاء OptiDisc لشركة Kerr. وغُمرت الأسنان بعدها ضمن ماء ثنائي التقطير، ووضعت ضمن حاضنة بدرجة حرارة 37°م مدة أسبوع. ثم استُخدم جهاز Vertex- Dental, Zeist, Netherlands لإخضاع العينات لـ 200 دورة حرارية بين 5-55°م مدة 15 ثانية لكل حمام، وذلك وفق معايير ISO 27. وطُلي كامل سطح السن مع الإكريل بطبقتين من طلاء الأظافر حتى حدود ألمم من حافات الترميم بعد الانتهاء من إجراء الدورات الحرارية، وغُمرت بعدها تيجان الأسنان بصباغ أزرق البيليكان مدة 24 ساعة بدرجة حرارة الغرفة، ومن ثم غُسلت العينات بماء جار مدة 5 دقائق لإزالة بقايا المحلول الملون، ثم أُجريتِ مقطع طولي إنسي وحشي يمر من منتصف الترميم بواسطة قرص ماسي على قبضة ميكروترور مع إرذاذ مائي للتبريد.

فُيِم التسرب الحفافي للجدار اللثوي والطاحن باستخدام مجهر ضوئي Scope, Model:Sc-S100, Germany بتكبير X50 موصول بجهاز حاسوب (كمبيوتر) يستخدم برنامج Scope Image Dynamic Pro باعتماد المعيار الآتي الذي يتألف من 4 درجات الوارد في الجدول رقم 3²⁸.

الجدول (2): توزيع المجموعات تبعاً لنوع الكمبوزت المستخدم

المجموعة الأولى (الشاهدة)	Tetric Evo Ceram
المجموعة الثانية	Bulk Fill Filtek
المجموعة الثالثة	Xtrafill
المجموعة الرابعة	Sonic Fill

الجدول (3): المعيار المستخدم في قياس درجة التسرب

درجة التسرب	مقدار التسرب
الدرجة 0	لا يوجد تسرب حفافي
الدرجة 1	تسرب حفافي ضمن الميناء ولا يتجاوز الملتقى المينائي العاجي
الدرجة 2	تسرب حفافي يتجاوز الملتقى المينائي العاجي ولا يصل إلى الجدار المقابل
الدرجة 3	تسرب حفافي يصل إلى لجدار المقابل

لتأمين انطباق أفضل للمسندة على السطح المحضّر. وتم التجفيف بوضع كزية قطنية داخل التحضير ثم جفف الميناء بتيار هوائي لطيف، ثم وُضعت طبقة من المادة الرابطة Heliobond على الميناء والعاج المُخَرَش باستخدام فرشاة تطبيق ثم وُجّه تيار هوائي بسيط مدة 5 ثوانٍ لضمان توزع المادة الرابطة والتصليب مدة 20 ثانية بواسطة جهاز LED نوع (He mao, CHINA) بشدة ضوء تُقدر بـ 1000 Cm²/MW. وتم التأكد من شدة جهاز التصليب قبل البدء بمراحل الترميم وخلال مراحل العمل بواسطة جهاز Dent America، وطُبِّعت كل من مواد الكمبوزت وفق تعليمات الشركة المنتجة. طُبِّقَ كمبوزت Filtek Bulk Fill وX-tra fil وفق تقنية الكتلة الواحدة بثخانة تصل حتى 5ملم بعد تطبيق الكتلة تم دكها وتشكيلها لثلاثم جدران الحفرة الداخلية ومن ثم أُجريتِ التصليب مدة 40 ثانية بواسطة جهاز التصليب.

وطُبِّقَ كمبوزت SonicFill وفق تعليمات الشركة المنتجة إذ تم رُكّبَ رأس الكمبوزت على قبضة SonicFill من إنتاج شركة Kavo؛ وذلك بلف الرأس مع عقارب الساعة ومن ثم تُحدد سرعة تطبيق المادة من خلال حلقة السرعة الموجودة بأسفل القبضة التي تحوي على خمس سرعات حيث وُحِدَتْ سرعة التطبيق بالحالات جميعها وفق الدرجة الخامسة ومن ثم وُجّهَ الرأس إلى أعماق نقطة من التحضير بحيث عند تدوير القبضة يتم انسياب الكمبوزت من داخل رأس الكمبوزت إلى الحفرة تحت تأثير الأمواج الصوتية دون حدوث أي انحباس هوائي ومن ثم أُجريتِ التصليب مدة 40 ثانية.

تم إنهاء السطح الطاحن وتلميعه فقط للترميمات بعد 24 ساعة من الانتهاء من ترميم كل مجموعة لضمان اكتمال تصلب الكمبوزت دون التأثير في سطح الارتباط²⁶، وذلك باستخدام سنبله لهب شمعة على قبضة توربين تحت تبريد



الشكل (1): المواد المستخدمة في البحث.



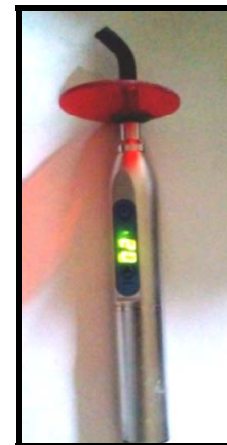
الشكل (2): النظام الرابط ومجموعة إنهاء الكمبيوتر.



الشكل (5): الأجزاء المستخدمة في البحث
.Scope, ANTI-MOULD ,German



الشكل (4): مجهر



الشكل (3): جهاز التصليب



الشكل (7): تحضير صنف II علبي



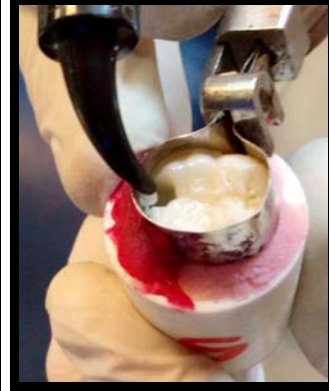
الشكل (6): طلاء جذور الأسنان بطبقتين من طلاء الأظافر ووضعها ضمن قواعد أكريلية



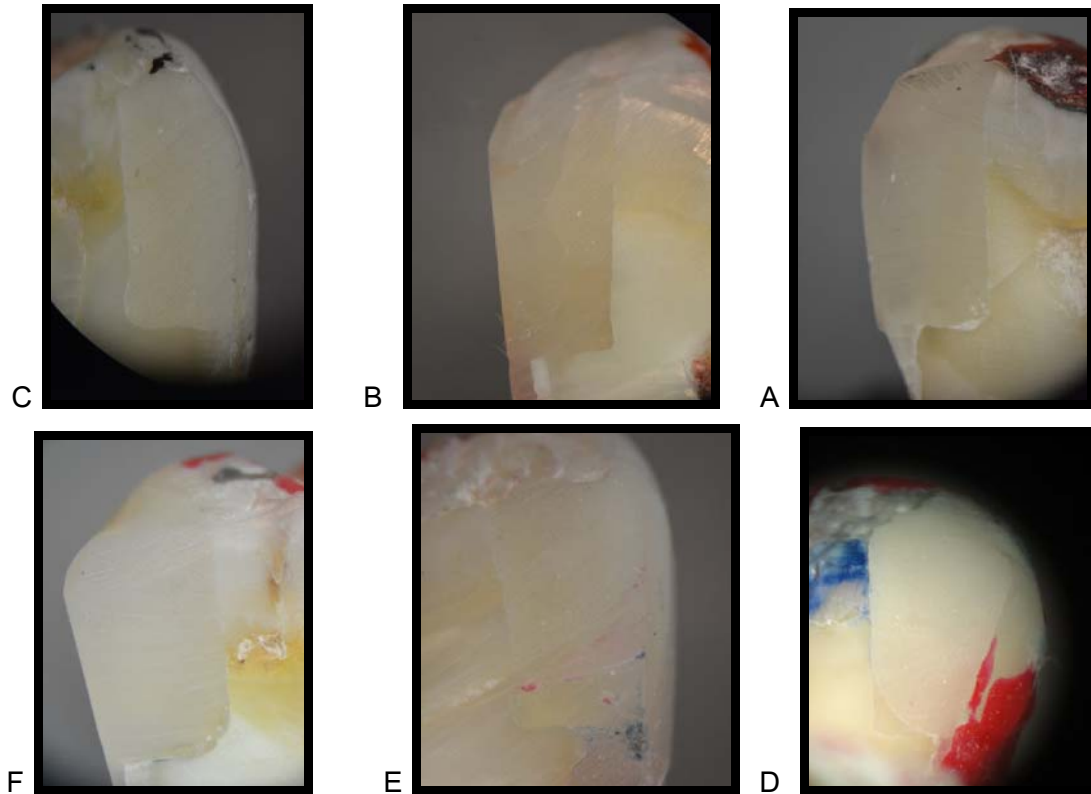
الشكل (8): التخريش الحمضي، وتطبيق المادة الرابطة، والتصليب الضوئي



الشكل (10): العينة جاهزة للغمر بالمادة الملونة



الشكل (9): تطبيق الكمبوزت ضمن التحضير، والإنهاء



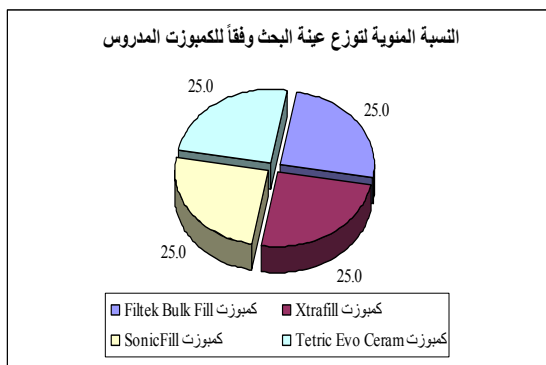
الشكل (11): A. B. C. درجة التسرب الحفافي 0 على الجدران الطاحنة واللثوية للمواد المدروسة (SonicFill و Filtek و X-tra fil) على الترتيب. D. درجة التسرب الحفافي 2 على الجدار الطاحن لعينة مرممة بمادة X-tra fil. E. درجة التسرب الحفافي 2 على الجدار اللثوي لعينة مرممة بمادة Filtek Bulk Fill. F. درجة التسرب الحفافي 2 على الجدار اللثوي لعينة مرممة بمادة SonicFill.

التحليل الإحصائي:

استخدم اختبار Kruskal-Wallis واختبار Wilcoxon واختبار Mann-Whitney U لدراسة النتائج إحصائياً بواسطة برنامج SPSS، إصدار رقم 16، وبمستوى دلالة 0.05%.

النتائج:

تألفت عينة البحث من 60 تحضيراً صنّف II أجريت على 60 رحي سليمة، قُسمت إلى أربع مجموعات رئيسة متساوية وفقاً للكمبوزت المدروس (Xtrafill، Filtek Bulk-Fill، SonicFill، Tetric Evo-Ceram "مجموعة شاهدة")، وكان توزيع عينة البحث وفقاً للكمبوزت المدروس والتقنية المستخدمة، كما في المخططين (1 و 2):

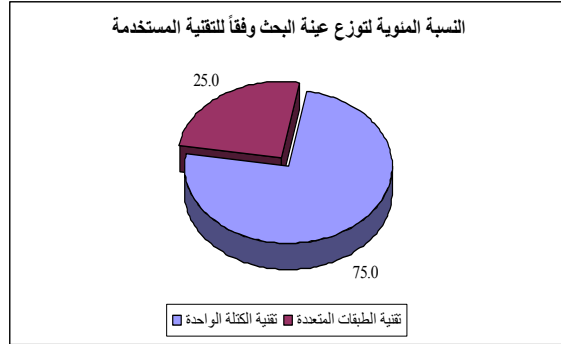


المخطط (1): يمثل النسبة المئوية لتوزيع الأبحاث في عينة البحث وفقاً للكمبوزت المدروس

دراسة درجة التسرب الحفافي وفقاً للكمبوزت المدروس:

دراسة تأثير الكمبوزت المدروس في درجة التسرب الحفافي وفقاً لموقع القياس:

أجري اختبار Kruskal-Wallis لدراسة دلالة الفروق في تكرارات درجة التسرب الحفافي بين مجموعات الكمبوزت المدروس (Tetric ،SonicFill ،Xtrafill ،Filtek Bulk Fill) في عينة البحث وفقاً لموقع القياس. إذ بيّن الجدول (2) أنّ قيمة مستوى الدلالة أكبر بكثير من القيمة 0.05 مهما كان موقع القياس، أي أنه عند مستوى الثقة 95% لا توجد فروق ذات دلالة إحصائية في تكرارات درجة التسرب الحفافي بين مجموعات الكمبوزت المدروس (Filtek Bulk Fill ،Tetric Evo Ceram ،SonicFill ،Xtrafill)، وذلك مهما كان موقع القياس.



المخطط (2): يمثل النسبة المئوية لتوزيع الأجزاء في عينة البحث وفقاً للتقنية المستخدمة.

الجدول (4): بيّن نتائج اختبار Kruskal-Wallis لدراسة دلالة الفروق في تكرارات درجة التسرب الحفافي بين مجموعات الكمبوزت المدروس وفقاً لموقع القياس.

المتغير المدروس = درجة التسرب الحفافي						
موقع القياس	الكمبوزت المدروس	عدد القياسات	متوسط الرتب	قيمة كاي مربع	قيمة مستوى الدلالة	دلالة الفروق
في الجدار الطاحن	كمبوزت Filtek Bulk Fill	15	30.30	1.333	0.721	لا توجد فروق دالة
	كمبوزت Xtrafill	15	32.73			
	كمبوزت SonicFill	15	28.40			
	كمبوزت Tetric Evo Ceram	15	30.57			
في الجدار اللثوي	كمبوزت Filtek Bulk Fill	15	29.77	0.392	0.942	لا توجد فروق دالة
	كمبوزت Xtrafill	15	31.57			
	كمبوزت SonicFill	15	29.43			
	كمبوزت Tetric Evo Ceram	15	31.23			
في الجدارين الطاحن واللثوي معاً	كمبوزت Filtek Bulk Fill	30	59.50	1.451	0.694	لا توجد فروق دالة
	كمبوزت Xtrafill	30	63.80			
	كمبوزت SonicFill	30	57.35			
	كمبوزت Tetric Evo Ceram	30	61.35			

دراسة تأثير موقع القياس في درجة التسرب الحفافي وفقاً للمكبوزت المدروس:

أجرى اختبار Wilcoxon للترتب ذات الإشارة الجبرية لدراسة دلالة الفروق في تكرارات درجة التسرب الحفافي بين مجموعة القياسات في الجدار الطاحن ومجموعة القياسات في الجدار اللثوي في عينة البحث، وذلك وفقاً للمكبوزت

الجدول (5): يبين نتائج اختبار Wilcoxon للترتب ذات الإشارة الجبرية لدراسة دلالة الفروق في تكرارات درجة التسرب الحفافي بين مجموعة القياسات في الجدار الطاحن ومجموعة القياسات في الجدار اللثوي ، وذلك وفقاً للمكبوزت المدروس.

دلالة الفروق	قيمة مستوى الدلالة	قيمة Z	متوسط الرتب		عدد الأرخاء			المكبوزت المدروس
			التسرب في الجدار اللثوي	التسرب في الجدار الطاحن	التسرب في الجدار اللثوي	التسرب في الجدار الطاحن	التسرب في الجدار اللثوي	
لا توجد فروق دالة	0.458	-0.743	3.50	1.50	11	2	2	كمبوزت Filtek Bulk Fill
لا توجد فروق دالة	1.000	0	3.50	3.50	9	3	3	كمبوزت Xtrafill
لا توجد فروق دالة	0.414	-0.816	2.25	1.50	12	2	1	كمبوزت SonicFill
لا توجد فروق دالة	0.705	-0.378	3.00	2.00	11	2	2	كمبوزت Tetric Evo Ceram

2-دراسة درجة التسرب الحفافي وفقاً للتقنية المستخدمة:

دراسة تأثير التقنية المستخدمة في درجة التسرب الحفافي وفقاً لموقع القياس:

أجرى اختبار Mann-Whitney U لدراسة دلالة الفروق في تكرارات درجة التسرب الحفافي بين مجموعة تقنية الكتلة الواحدة ومجموعة تقنية الطبقات المتعددة في عينة البحث وفقاً لموقع القياس. إذ يبين الجدول (4) أن قيمة مستوى

الجدول (6): يبين نتائج اختبار Mann-Whitney U لدراسة دلالة الفروق في تكرارات درجة التسرب الحفافي

بين مجموعة تقنية الكتلة الواحدة ومجموعة تقنية الطبقات المتعددة وفقاً لموقع القياس.

المتغير المدروس = درجة التسرب الحفافي						
موقع القياس	التقنية المستخدمة	عدد القياسات	متوسط الرتب	قيمة U	قيمة مستوى الدلالة	دلالة الفروق
في الجدار الطاحن	تقنية الكتلة الواحدة	45	30.48	336.5	0.977	لا توجد فروق دالة
	تقنية الطبقات المتعددة	15	30.57			
في الجدار اللثوي	تقنية الكتلة الواحدة	45	30.26	326.5	0.772	لا توجد فروق دالة
	تقنية الطبقات المتعددة	15	31.23			
في الجدارين الطاحن واللثوي معاً	تقنية الكتلة الواحدة	90	60.22	1324.5	0.803	لا توجد فروق دالة
	تقنية الطبقات المتعددة	30	61.35			

دراسة تأثير موقع القياس في درجة التسرب الحفافي وفقاً للتقنية المستخدمة:

أجرى اختبار Wilcoxon للرتب ذات الإشارة الجبرية لدراسة دلالة الفروق في تكرارات درجة التسرب الحفافي بين مجموعة القياسات في الجدار الطاحن ومجموعة القياسات في الجدار اللثوي في عينة البحث؛ وذلك وفقاً للتقنية المستخدمة.

الجدول (7) يبين نتائج اختبار Wilcoxon للرتب ذات الإشارة الجبرية لدراسة دلالة الفروق في تكرارات درجة التسرب الحفافي بين مجموعة القياسات في الجدار الطاحن ومجموعة القياسات في الجدار اللثوي، وذلك وفقاً للتقنية المستخدمة.

دلالة الفروق	قيمة مستوى الدلالة	قيمة Z	متوسط الرتب		عدد الأجزاء								
			الرتب التي تحتوي على الرمز ٧	الرتب التي تحتوي على الرمز ٨	الرتب التي تحتوي على الرمز =	الرتب التي تحتوي على الرمز ٧	الرتب التي تحتوي على الرمز ٧	الرتب التي تحتوي على الرمز ٧	الرتب التي تحتوي على الرمز ٧	الرتب التي تحتوي على الرمز ٧			
لا توجد فروق دالة	0.408	-0.827	8.14	5.67	32	7	6						تقنية الكتلة الواحدة
لا توجد فروق دالة	0.705	-0.378	3.00	2.00	11	2	2						تقنية الطبقات المتعددة

فروق مهمة إحصائياً بين المجموعات من حيث التسرب اللثوي. كما لم يتبين نتيجة هذه الدراسة وجود فرق ذي دلالة إحصائية في التسرب الكلي بين المجموعات.

حُفظت العينات في ماء ثنائي التقطير قبل البدء بإجراء الدورات الحرارية وخلال مدة العمل. وقد ثبت أن بعض المحاليل مثل 70% إيثانول و10% فورمالين والماء المقطر مع الشيمول لا تؤثر في قوى الارتباط بالأنسجة العاجية²⁹. من ثم أُخضعت عينات البحث لدورات حرارية تعمل على خلق إجهادات تمدد - تقلص متكررة عند منطقة الارتباط وذلك بسبب اختلاف معامل التمدد الحراري بين الكمبوزت والأنسجة السنية³⁰، الأمر الذي يمكن أن يسبب زيادة في حجم الفجوات الحفافية المجهرية ويسرع من انحلال مكونات السطح البيني بين الكمبوزت والأنسجة السنية ويزيد من امتصاص الماء، كما لوحظ عدم وجود اختلاف في النفوذية الصباغية عند تعريض العينات لـ 100 دورة حرارية أو

المناقشة:

تحررت الدراسة الحالية قدرة المواد المرممة (الجدول 1) المطبقة بتقنيات مختلفة على الختم الحفافي الطاحن واللثوي لحفر الصنف الثاني ذات الحافات المينائية بالكامل، وذلك بعد توحيد حجم الحفر المحضرة واعتماد نظام رابط واحد في العينات جميعها ضمن الشروط المخبرية نفسها.

كان ترتيب المجموعات عند مقارنة التسرب الحفافي المجهري الطاحن بين مجموعات الدراسة على الشكل الآتي: مجموعتا Filtek Bulk-Fill و Tetric Evo Ceram 86.7% ومجموعة Xtrafill 80%، ومجموعة SonicFill 93.3%، وتبين عدم وجود فروق مهمة إحصائياً بين مجموعات الدراسة من حيث التسرب الطاحن. أما ترتيب نتائج التسرب الحفافي المجهري اللثوي فقد جاء كما يأتي: مجموعتا Filtek Bulk-Fill و SonicFill 86.7%، ومجموعتا Xtrafill و Tetric Evo Ceram 80%، ولوحظ عدم وجود

تعمل بمنزلة نوابض مجهرية تحرر الجهد التقلصي²³، أو إضافة معدلات للزوجة كما في مادة SonicFill التي جمعت بين كل من خصائص الكمبوزت القابل للنحت وبين خواص الكمبوزت السيال؛ وذلك من خلال إضافة معدلات منشطّة بالطاقة الصوتية ضمن بنية المادة، وظيفتها تعديل لزوجة المادة حيث تتخفض درجة اللزوجة حتى 87% عند تعرضها للأمواج الصوتية³⁵.

ولم يكن هناك أي فرق جوهري بين نتائج التسرب اللثوي والطاحن للمجموعات، لكن تفوقت نتائج التسرب المسجلة في مجموعة SonicFill على النتائج المسجلة للمجموعات الأخرى. ويمكن أن يُفسر ذلك بالاعتماد على حقيقة أنّ مقدار الجهد التقلصي يعتمد على مقدار الارتباط المرن للمادة مع الجدران السنّية والخواص الانسيابية للمادة المرمة، فقد وجد في هذه الدراسة أن الانسيابية العالية لمادة SonicFill نتيجة خفض لزوجة المادة عند تعرضها للطاقة الصوتية يجعلها ذات خواص ترطيبية أفضل، الأمر الذي يحسّن من انطباقها مع الجدران السنّية، ومن ثمّ يقلل من احتمال اندخال الفقاعات الهوائية وتشكل الفجوات الحفافية بطريقة مشابهة لتطبيق الكمبوزت السيال¹⁹، وهذا يتوافق مع دراسة Kalmowicz الذي وجد على الرغم من أنّ كثافة مادة SonicFill لاتساوي كثافة الكمبوزت السيال، إلّا أنّ الانسيابية التي تحدثها الأمواج الصوتية بالمادة تجعلها محقّقة للانطباق مع جدران التحضير السنّية بشكل مشابه لما يتم الحصول عليه في أثناء استخدام الكمبوزت السيال³⁶، في حين أنّ اللزوجة التي تتمتع بها المواد الأخرى قد تحد من تحقيق الانطباق الجيد مع الجدران السنّية مما يزيد من التسرب. وتوافقت نتائج هذه الدراسة من حيث تسجيل مادة SonicFill ختماً حفافياً أفضل مع كلّ من AGarwal و Orłowski^{38,37}. فيما اختلفت نتائج البحث مع دراسة Nadig الذي توصل إلى أنّ تقنية تطبيق الكمبوزت

لـ 1500 دورة، وقد عُرّضت العينات في هذه الدراسة لـ 200 دورة حرارية بحرارة راوحت بين 5-55°م وذلك لخلق بيئة مشابهة للبيئة الفموية³¹.

استُخدمت العديد من الطرائق المخبرية في تقييم الختم الحفافي للترميمات السنّية كالضغط الهوائي والجراثيم والنظائر المشعة و المجهر الالكتروني الماسح والأصبغة، لكن يعدّ استخدام الصباغ الكاشف في تقييم التسرب الحفافي المجهرية الأكثر شيوعاً في الدراسات المخبرية؛ وذلك كونها طريقة بسيطة غير سامة، وقابلة للتقصي بتركيز منخفضة، وتمكن من مقارنة النتائج فضلاً عن انخفاض كلفتها مقارنة بالتقنيات الأخرى³². واستخدم في هذا البحث صباغ أزرق البيليكان Pelikan Ink 4001 كونه يتمتع بوزن جزيئي منخفض، ما يسمح بنفوذية أكبر تفوق الأصبغة الأخرى، فضلاً عن أنّ حجم الجزيئات يراوح بين (0.1-2 µm)، وهو مشابه لحجم الجراثيم التي يمكن أن تخترق الفجوة بين الترميم والسن في حالات التسرب الحفافي^{34,33}.

أظهرت مجموعات الدراسة المختلفة نتائج مقبولة للتسرب الحفافي المجهرية على الرغم من تطبيق المواد بسماكات تصل إلى 5 ملم بدفعة واحدة، ويمكن أن يعود ذلك إلى إضافة معدلات التقلص التصليبي؛ وهي عبارة عن مواد ذات وزن جزيئي عالٍ تتوضع في مركز هيكل الراتنج القابل للتصلب، ما يسمح بتحرر الجهود التقلصية دون التأثير في معدل التحول¹⁰، أو إلى استخدام محررات الجهد؛ وهي جزء من الحبيبات المألثة تتكون من بوليميرات مسبقة التصلب، ما يسمح بنسبة ملء أعلى بالمادة ومن ثمّ التقليل من التقلص التصليبي، كما تمنع هذه المألثات أيضاً من حركة انكماش القالب الراتنجي في أثناء التصلب؛ وذلك بسبب الاحتكاك بين الراتنج و سطح هذه المواد في أثناء عملية التصلب، وتتمتع هذه المواد بمعامل مرونة منخفض يجعلها

يكون إطباقياً غالباً، ومن ثمَّ تزداد الفجوات الحفافية اللثوية محدثةً التسرب الحفافي⁴⁰.

سجّلت مواد الكمبوزت المختبرة في هذه الدراسة نسباً متفاوتة من التسرب الحفافي المجهري، ولم تستطع أي مادة أو تقنية منع حدوثه، وهذا يتوافق مع دراسة Papacchini⁸. كما توافقت نتائج هذا البحث بعدم وجود فرقٍ إحصائيٍّ مهم بين تقنيات الترميم مع Eunice³⁵ و Kalmowicz³⁶.

الاستنتاجات:

ضمن شروط هذه الدراسة المخبرية عن التسرب الحفافي المجهري يمكن استنتاج:

لم تستطع أي تقنية من تقنيات الترميم المختبرة (تقنية الطبقات المتعددة، تقنية الكتلة الواحدة) منع حدوث التسرب الحفافي المجهري حول ترميمات الصنف الثاني العلبية المنجزة مخبرياً.

حققت المواد المدروسة جميعها نتائج مقبولة ومقاربة من حيث حدوث التسرب الحفافي المجهري.

كانت قيم التسرب في الجدار اللثوي أكبر من قيم التسرب في الجدار الطاحن، ولكن دون فارق مهم إحصائياً.

أظهرت تقنية الترميم بمادة ال SonicFill قدرة أكبر على التكيف مع الجدران الداخلية للسن، وسجلت النسب القليلة من حيث التسرب الحفافي المجهري.

على طبقات أفضل من تقنية التطبيق كتلة واحدة من حيث التسرب الحفافي المجهري¹¹، وقد يعزى هذا الاختلاف إلى مواد الكمبوزت المستخدمة في التطبيق بتقنية الكتلة الواحدة في هذه الدراسات التي كانت ذات المواد التي تطبق بتقنية الطبقات ومن ثمَّ فإنَّ مثل هذه المواد تبدي تقلصاً تصليبياً كبيراً عند التطبيق كتلة واحدة كونها لاتملك التحسينات التي أضافتها الشركات المصنعة إلى المواد القابلة للتطبيق كتلة واحدة بهدف التغلب على مشكلات التقلص التصليبي وعمق التصلب.

وتبيّن نتيجة هذه الدراسة وجود فرقٍ ولكن غير مهم

إحصائياً بين نتائج التسرب اللثوي والطاحن في كل من • مجموعتي SonicFill و Tetric Evo Ceram، وقد يكون سبب وجود هذا الفارق قلة الثخانة المينائية عند الحافات اللثوية ما يجعل القسم الأكبر من الارتباط مع العاج ذي

البنية غير المتجانسة والمحتوى العالي من المواد العضوية، • على نقيض الميناء ذي المحتوى العالي من المواد غير

العضوية التي تسمح عند إجراء التخريش الحمضي بحدوث • نفوذية عالية للميناء تساعد على اختراق أكبر للمواد الرابطة

وتشكيل روابط ميكانيكية مجهرية مع الكمبوزت بشكل أقوى • من العاج³⁹، فضلاً عن أنَّ الميناء المتبقي في المناطق العنقية يعدُّ رقيقاً وذا بنية غير منتظمة ما ينعكس سلباً على

الارتباط ويرفع من مقدار التسرب، وقد يعزى التسرب اللثوي أيضاً إلى تقلص كتلة الترميم باتجاه مصدر الضوء الذي

المراجع

1. Cakir D. Polymerization shrinkage—a clinical review, Aegis Communications. 2007, 3:23-42.
2. Burke F., Crisp R., James A., Mackenzie L., Pal A., Sands P., *et al.* Two year clinical evaluation of a low-shrink resin composite material in UK general dental practices. J.Dent Mater.2011;27,622-630.
3. Sikri V.K. Textbook of Operative Dentistry (2th ed). New Delhi: CBS Puplichers & Distributors 2008. Ch 28: p 589-617.
4. Kumar M., Lakshminarayanan L. Methods of detecting microleakage. J. Conservative Dentistry. 2004; Vol 7: No 2,79-87.
5. Patel M .U, Punia S.K., Bhat S., Singh G., Bhargava R., *et al.* An in vitro evaluation of microleakage of posterior teeth restored with amalgam, composite and zirconomer – A stereomicroscopic study. J Clin Diagn Res. 2015 July; 9(7): 65–67.
6. Raskin A, D’Hoore W, Gonthier S, Degrange M, Déjou J. Reliability of in vitro microleakage tests: A literature review. J Adhesive Dent 2001;3:295-308.
7. Gerdolle D.A., Mortier E., Droz D.. Microleakage and Polymerization Shrinkage of Various Polymer Restorative Materials. Journal of Dentistry for Children. 2008,75 (2): 125-133.
8. Papacchini F., Monticelli F., Hasa I., Radovic I., Fabianelli A., Polimeni A., Ferrari M.. Effect of air-drying temperature on the effectiveness of silane primers and coupling blends in the repair of a microhybrid resin composite. J Adhes Dent. 2007, 9(4): 391-397.
9. Samet N., Kwon K.R., Good P., Weber H.P.. Voids and interlayer gaps in class I posterior composite restorations: a comparison between a microlayer and a 2-layer technique. Quintessence Int. 2006, 37(10): 803-809.
10. Karthick K.. Polymerization shrinkage of composites- A review. J IADS. 2012;(2).
11. Nadig R., Bugalla A., Usha .G, Karthlk J., Rao R., Vedhavathi B.. Effect of four different placement techniques on marginal microleakage in class II composite restorations: In vitro study. World Journal of Dentistry, 2011;2(2):111-116.
12. Frankenberger R., Kramer N., Lohbauer U., Nikolaenko S.A., Reich S.M. Marginal integrity: Is the clinical performance of bonded restorations predictable. In vitro? J Adhes Dent. 2007, 9 Suppl 1: 107-116.
13. Versluis A., Douglas W.H., Cross M., Sakaguchi R.L. Does an incremental filling technique reduce polymerization shrinkage stresses?J Dent Res 1996,75(3):871-878.
14. Bagis Y.H., Rueggeberg F.A. The effect of post-cure heating on residual, unreacted monomer in a commercial resin composite. Dent Mater 2000,16(4): 244-247.
15. Peutzfeldt A., Asmussen E.. Composite restorations: Influence of flowable and self-curing resin composite linings on microleakage in vitro. Oper Dent 2002,27(6): 569-575.
16. Lindberg, A., Van Dijken JW, Horstedt P. In vivo interfacial adaptation of class II resin composite restorations with and without a flowable resin composite liner. Clin Oral Investig. 2005, 9(2): 77-83.
17. Sensi L.G., Marson F.C., Monteiro S., Baratieri J.R., Caldeira De Andrada M.A.. Flowable composites as "filled adhesives:" a microleakage study. J Contemp Dent Pract. 2004, 5(4): 32-41.
18. Czasch P, Ilie N. In vitro comparison of mechanical properties and degree of cure of bulk fill composites. Clin Oral Investig 2013;17:227-235.
19. Finan L., Palin W.M., Moskwa N., Meginley E.L., Fleming G.J. .The influence of irradiation potential on the degree of conversion and mechanical properties of two bulk-fill flowable RBC base materials. Dent Mater 2013;29:906-912.
20. Manhart J., Chen H.Y., Hickel R.. Clinical evaluation of the posterior composite Quixfil in class I and II cavities:4-year follow-up of a randomized controlled trial. J Adhes Dent 2010;12:237-243.
21. Burgess J., Cakir D.. Comparative properties of low-shrinkage composite resins Compend Contin Educ Dent 2010., 31 Spec No 2: 10-15.
22. Poggio C., Dagna A, Chiesa M., Colombo M., Scribante A.. Surface roughness of flowable resin composites eroded by acidic and alcoholic drinks. J Conserv Dent 2012;15:137-140.
23. Hickel R.. Latest composites - many assertions . BZB Bayerisches Zahnärzteblatt 2012;49:50-53.
24. Van Ende A., De Munck J., Van Landuyt K.L., Poitevin A., Peumans M., & Van Meerbeek B.. Bulk-filling of high C-factor posterior cavities: Effect on adhesion to cavity-bottom dentin Dental Materials. 2013, 29(3) 269-277.

25. Park J., Chang J., Ferracane J., & Lee I.B. How should composite be layered to reduce shrinkage stress: Incremental or bulk filling? *Dental Materials*. 2008, 24(11):1501-1505.
26. Zimmerli B., Strub M., Jeger F., Stadler O., Lussi A.. Composite materials: composition, properties and clinical applications. a literature review. *Schweiz Monatschr Zahnmed* .N 2010; 120(11):972-82.
27. Loguercio A.D, Bauer J.R.D, Reis A, Grande R.H.M. In vitro microleakage of packable composites in Class II restorations. *Restor Dent* 2004; 35(1): 29-34.
28. Deliper S., Bardwell D.N., Papatnasasiou A., Kastali S., Garcia-Godoye F.. Microleakage of microhybrid composite resin using three different adhesive placement techniques. *J Adhes Dent* 2004;6(2):135-9.
29. Goodis H.E., Marshall G.W., White J.M., Gee L.. Hornberger B, Marshall SJ. Storage effect on dentin permeability and shear bond strengths. *Dent mater*.1993;9(2):79-84.
30. Wahab F.K., Shaini F.J., Morgano S.M.. The effect of thermocycling on microleakage of several commercially available composite Class V restorations in vitro. *J Prosthet Dent* 2003;90:168-74.
31. Pazinato F.B., Campos B.B., Costa L.C., Atta M.T.. Effect of the number of thermocycles on microleakage of resin composite restorations. *Pesqui Odontol Bras* 2003;17(4):337-41.
32. Ghasemi A., Torabzadeh H., Mahdian M., Afkar M., Fazeli A., Akbarzadeh Baghban A.. Effect of bonding application time on the microleakage of Class V sandwich restorations. *Aust Dent J* 2012;57:334-8.
33. Lithgow J .K., Hayhurst E. J., Cohen G., Aharonowitz Y., Foster S.J.. Role of a Cysteine Synthase in *Staphylococcus aureus*. *J Bacteriol*. 2004 Mar; 186(6): 1579–1590.
34. Yoshikawa M., Noguchi K., Toda T.. Effect of particle sizes in India ink on its use in evaluation of apical seal. *J Osaka Dent Univ*. 1997 Dec;31(1-2):67-70.
35. Eunice C., Margarida G., Lopes João C., *et al*. 99m Tc in the evaluation of microleakage of composite resin restorations with SonicFill™ . An in vitro experimental model *Open Journal of Stomatology*, 2012, 2(4):340-347.
36. Kalmowicz J., Phebus J.G., Owens B.M., Johnson W.W., King G.T.. Microleakage of class I and II composite resin restorations using a sonic-resin placement system.. *Operative Dentistry*.2015, November/December,40 (6) pp. 653-661.
37. Orłowski M., Tarczydło B., Chałas R.. Evaluation of marginal integrity of four bulk-fill dental composite materials: In vitro study. *The Scientific World Journal*. 2015, Article ID 701262, 8 pages.
38. Agarwal R. S, Hiremath H., Agarwal J., and Garg A.. Evaluation of cervical marginal and internal adaptation using newer bulk fill composites: An in vitro study. *J Conserv Dent*. 2015 Jan-Feb; 18(1): 56–61.
39. Perdigo J.. Dentin bonding-variables related to the clinical situation and the substrate treatment. *Dent Mater* 2010,26(2): E24-37.
40. Bogra P., Gupta S., Kumar S. Comparative evaluation of microleakage in class II cavities restored with Ceram X and Filtek P-90: An in vitro study. *Contemp Clin Dent* 2012; 3(1): 9-14.

تاريخ ورود البحث 2016/8/22.

تاريخ موافقة النشر 2016/12/15.